

丙戊酸钠慢性作用及停药后对 C6 神经胶质瘤细胞 GAT-3 及 GABA-T mRNA 表达的影响

高 杨 霖 林 生 袁 曙 光 第一军医大学药物研究所 广东 广州 510515 冤

摘要 目的 通过研究丙戊酸钠(VPA)慢性作用及停药后对 C6 神经胶质瘤细胞 酌氨基丁酸转运体-3(GAT-3)和 酌氨基丁酸转氨酶(GABA-T)mRNA 表达水平的影响从星形胶质细胞的角度来探讨 VPA 的停药反跳机制遥方法 用含 50 mg/L VPA 的 DMEM 培养基将 C6 细胞培养 2 周后制成 VPA 慢性作用模型遥采用半定量 RT-PCR 方法检测 VPA 慢性作用及停药后对 C6 神经胶质瘤细胞 GAT-3 和 GABA-T mRNA 表达水平的变化遥结果 (1)在 VPA 慢性作用下相对灰度值 V 值即 GAT-3 和 GABA-T 电泳条带与相应的茁 actin 灰度积分的百分比为 (39.1依.5)% 低于正常对照组的 (46依.3)% 各停药组的 RV 值均低于 VPA 慢性作用组其中停药 24 h 组的最低为 (11.7依.6)% 停药 30 min 组的最高为 (38.9依.6)% 而停药 48 h 组又升高到 (33.5依.1)% 遥 (2)VPA 慢性作用组 RV 值为 (71.31依.91)% 与对照组 [RV 值为 (34.77依.26)%] 相比 GABA-T mRNA 表达明显上调各停药组与 VPA 慢性作用组相比 GABA-T mRNA 的表达明显下调其中停药 12 h 组 [RV 值为 (25.36依.68)%] 降至最低遥结论 VPA 慢性作用可使 GAT-3 mRNA 的表达下调 GABA-T mRNA 表达上调遥 VPA 慢性作用后停药造成的 GAT-3 和 GABA-T mRNA 表达水平的波动可能与 VPA 停药反跳有关遥

关键词 丙戊酸钠 / 癫痫 / 药物治疗 / C6 神经胶质瘤细胞 / 酌氨基丁酸转运体 / 酌氨基丁酸转氨酶

中图分类号 742.1 文献标识码 文章编号 院000-2588(2003)09-0885-03

Changes in GAT-3 and GABA-T mRNA expression of C6 glioma cells in response to a 2-week treatment with sodium valproate and withdrawal

GAO Yang, LEI Lin-sheng, WU Shu-guang

Institute of Pharmaceutic Science, First Military Medical University, Guangzhou 510515, China

Abstract: Objective To examine the effects of sodium valproate (VPA) treatment and withdrawal on the expression of GABA transporter-3 (GAT-3) and GABA transaminase (GABA-T) mRNA in C6 glioma cells, and to explore the role of GAT-3 and GABA-T in the rebound mechanism of VPA withdrawal. Methods C6 glioma cells were maintained for 2 weeks in DMEM medium containing VPA (50 mg/L) to establish the cell model of chronic exposure to VPA. Semi-quantitative RT-PCR was used to examine the changes of GAT-3 and GABA-T mRNA expression in response to VPA treatment and withdrawal. Results Chronic exposure to VPA down-regulated GAT-3 mRNA expression to 39.1% 依.5% from 46% 依.3% in the control group; After VPA withdrawal, GAT-3 mRNA expression level kept decreasing, reaching the minimum (11.7% 依.6%) 24 h after the withdrawal and with an increase to the level of 33.5% 依.1% after another 24 h. GABA-T mRNA expression was up-regulated to 71.31% 依.39% from 34.77% 依.36% of the control level after VPA treatment, the withdrawal of which resulted in decreased GABA-T mRNA expression. Till 12 h after the withdrawal, the GABA-T mRNA expression level decreased to the minimum, 25.36% 依.68%. Conclusions Chronic treatment with VPA can down-regulate GAT-3 mRNA expression and up-regulate GABA-T mRNA expression in C6 glioma cells, and this undulation may involve VPA withdrawal rebound.

Key words: sodium valproate; epilepsy/medicines therapy; C6 glioma cells; GABA transporter-3; GABA transaminase

丙戊酸钠 (alproic acid sodium, VPA) 是一种常用的广谱抗癫痫药, 可有效地提高大脑中主要的抑制性神经递质 酌氨基丁酸 (GABA) 的水平遥丙戊酸钠需长期规则服用以保持稳定有效的血药浓度而达到控制癫痫发作的目的遥治疗期间如果随意停药或

换药过快, 轻则病人会出现停药症状, 重则导致病情反复甚至加重遥停药反跳遥比停药反跳机制目前尚不清楚遥 GABA 作用的程度和持续时间受到 GABA 转运体 酌ABA transporter, GAT 酌的调节遥 GAT 可介导高亲和性的 酌Na⁺/Cl⁻ 依赖性的 GABA 摄取进入神经末梢和胶质细胞突起, 使突触间隙中 GABA 的浓度保持在一定的水平遥目前已知的 GAT 主要包括 GAT-1 酌, GAT-2 酌, GAT-3 酌三种类型遥其中 GAT-3 主要分布在星形胶质细胞的突起上遥在 GABA 的摄取中起主要作用遥被摄取的 GABA 可在 GABA 转氨酶 酌ABA transaminase, GABA-T 酌的作用下转化为琥

收稿日期 院003-05-16

基金项目 院广东省医学科研基金 院2002367 冤

Supported by Medical Science Research Foundation of Guangdong Province (A2002367)

作者简介 高 杨 霖 967-冤 袁 霖 江苏盐城人 院003 年毕业于第一军医大学 院士 院讲师 院电话 院20-61648167

珀酸半醛后者再氧化为琥珀酸而进入三羧酸循环。C6 神经胶质瘤细胞常用于研究星形胶质细胞的功能和特性。因此本实验通过研究 VPA 慢性作用及停药后对 C6 神经胶质瘤细胞 GAT-3 及 GABA-T mRNA 表达水平的影响来探讨丙戊酸钠的停药反应机制。

1 材料与方法

1.1 细胞培养

C6 神经胶质瘤细胞购买于 ATCC 公司。于 37 益尧 5% CO₂ 条件下培养于含 10% 胎牛血清的 DMEM 培养基。

1.2 VPA 慢性作用

VPA 的有效血浆浓度为 50~100mg/L。本实验采用含 50mg/L VPA 的 DMEM 培养基将 C6 细胞培养 2 周后制成 VPA 慢性作用模型。然后将正常 C6 细胞及 VPA 慢性作用的 C6 细胞按 2伊0⁵ 的密度接种于 35mm 培养皿。培养 48 h 后停药组分为停药 30min、1h、2h、4h、8h 组。相应时间停药即用不含 VPA 的 DMEM 培养基漂洗 3 遍。再换以 DMEM 培养基继续培养。各组在接种后的细胞培养时间均为 96 h。

1.3 RT-PCR

用 Trizol 法提取各组细胞总 RNA。方法参照 Trizol 试剂说明书。提取的 RNA 用逆转录酶 AMV 和 oligo(dT)(18mer) 等合成 cDNA。第 1 链反应条件为 2 益 1h、2 益 5min。GAT-3 上游引物为 5'-atgtgt gga gtt cca gaagc-3'。下游引物为 5'-cac

acctgtggatcagagag-3'。扩增片段为 360bp。PCR 参数为 5 益 30 s、5 益 1min、2 益 1min、2 益 0 个循环。上游引物为 5'-aactacgaagagagccgagg-3'。下游引物为 5'-gag aggatgctgtagtctgg-3'。PCR 产物为 410bp。其 PCR 参数为 5 益 30 s、7 益 1 min、2 益 1 min、2 益 30 个循环。内参 β -actin 上游引物为 5'-agc aag agaggcatctcgac-3'。下游引物为 5'-gtg gtacgaccagag gcata-3'。扩增产物为 268bp。同样条件下用无 Rnase 水代替 AMV 作为阴性对照。实验重复 3 次。

1.4 结果分析

PCR 扩增产物进行琼脂糖凝胶电泳并用 BIO-PROFIL/BIO-CAPT/BIO-1D++ 图像分析软件 (Lourmat 公司) 对图像条带进行扫描。根据各组的 GAT-3 尧 GABA-T 的相对灰度值 [RV 值] 即 GAT-3 尧 GABA-T 电泳条带与相应的 β -actin 条带的灰度积分的百分比值 $V = (VGAT-3/V\beta\text{-actin})伊 100\%$ (以均值标准差表示) 用 Origin 7.0 软件作图。比较各组 GAT-3 和 GABA-T mRNA 表达水平的变化。

2 结果

2.1 对 GAT-3 mRNA 表达的影响

在 VPA 慢性作用下 RV 值为 (39.1依.5)%。低于正常对照组的 (46依.3)%。各停药组的 RV 值均低于 VPA 慢性作用组。其中停药 24 h 组的最低为 (11.7依.1.6)%。停药 30min 组的最高为 (38.9依.6)%。略低于 VPA 慢性作用组。而停药 48 h 组又升高到 (33.5依.1.1)%。明显高于停药 24 h 组。

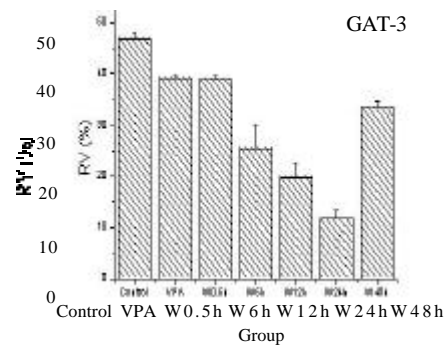
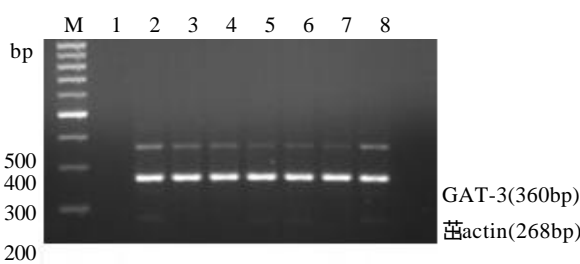


图 1 VPA 慢性作用及停药后对 C6 细胞 GAT-3 mRNA 表达的影响

Fig.1 Effects of chronic VPA treatment and withdrawal on GAT-3 mRNA expression in C6 glioma cells

Lane1: Negative control; Lane2: VPA-free C6 glioma (Control); Lane3: Chronic treatment with VPA (VPA); Lane4: VPA withdrawal 30min (W-30min); Lane5: VPA withdrawal 6h (W-6h); Lane6: VPA withdrawal 12h (W-12h); Lane7: VPA withdrawal 24h (W-24h); Lane8: VPA withdrawal 48h (W-48h)

2.2 对 GABA-T mRNA 表达的影响

VPA 的慢性作用使 GABA-T mRNA 表达上调。对照组与 VPA 组的 RV 值分别为 (34.77依.36)% 和 (71.31依.39)%。与 VPA 组相比。各停药组 GABA-T mRNA 表达水平明显下降。除停药 12 h 组 [RV 值 (25.36依.68)%] 低于对照组外。其余停药组 GABA-T

mRNA 表达水平均高于对照组。

3 讨论

GABA 是中枢神经系统中主要的抑制性神经递质。估计有 60%~75% 的突触中存有 GABA。而 GABA 能神经元功能的损伤造成脑内 GABA 水平低下。

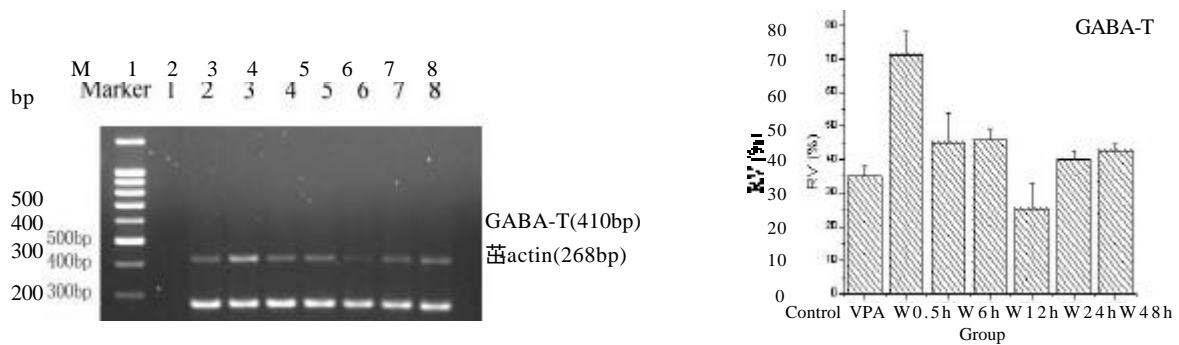


图 2 VPA 慢性作用及停药后对 C6 细胞 GABA-TmRNA 表达的影响

Fig.2 Effects of chronic VPA treatment and withdrawal on GABA-T mRNA expression in C6 glioma cells

Lane1:Negativecontrol;Lane2:VPA-freeC6glioma(Control);Lane3:Chronic treatmentwithVPA(VPA);Lane4:VPAwithdrawal 30min(W-30min);Lane5:VPAwithdrawal6h(W-6h);Lane6:VPAwithdrawal12h(W-12h);Lane7:VPAwithdrawal24h(W-24 h);Lane8:VPAwithdrawal48h(W-48)

与癫痫发生密切相关^[11]。长期以来神经科学领域的研究袁包括癫痫相关的病理学和神经药理学研究袁一直集中于神经元上袁而未对神经胶质细胞加以足够的重视遥传统观念认为袁神经胶质细胞是仅仅对神经元具有支持尧营养和保护作用的非兴奋性细胞遥1998年袁raque等^[12]首次发现星形胶质细胞可通过释放谷氨酸等化学递质来调节神经元的活动遥现已证明袁星形胶质细胞具有多种电压及配体依赖的离子通道袁含有大部分神经递质尧神经肽尧激素及神经营养因子受体袁并能分泌多种神经活性物质遥因此袁神经胶质细胞尤其是星形胶质细胞的作用日益受到关注遥考虑到星形胶质细胞在调节突触间隙 GABA 水平上重要的地位袁所以本实验选择 C6 细胞袁从星形胶质细胞的角度来探讨 VPA 停药反跳机制遥本实验结果表明袁VPA 的慢性作用可抑制 GAT-3mRNA 的表达遥停药后 GAT-3mRNA 水平继续下降袁至停药 48h 又开始明显上升遥提示 VPA 通过 GAT-3 调节脑内 GABA 水平可能是其抗癫痫的作用机制之一遥停药后 GAT-3 mRNA 表达的变化可能与停药反跳有关遥GAT-3 一方面可摄取突触间隙中的 GABA袁另一方面又可在一定条件如癫痫状态下逆向运转袁释放 GABA 来调节突触的活动遥因此袁GAT-3 在停药反应中的具体作用仍需进一步研究遥并为今后将 GAT-3 作为一个重要的靶点来开发新的抗癫痫药物提供实验依据遥本实验还观察到 VPA 的慢性作用使 GABA-T mRNA 表达上调袁促进细胞内的 GABA 转变为琥珀酸袁进入三羧酸循环后袁使草酰乙酸生成增加袁这可能会促进草酰乙酸在转氨酶的作用下生成天门冬氨酸遥星形胶质细胞可释放天门冬氨酸袁并可通过 NMDA 受体激活抑制性中间神经元来抑制神经元过度兴奋袁这也许是 VPA 另一抗癫痫作用途径遥停药后 GABA-T mRNA 表达的变化也可能与停药反跳有关袁但仍需深入研究遥

参考文献

- 咱暂 BiggsCS,PearceBR,FowlerLJ, et al. The effect of sodium valproate on extracellular GABA and other amino acids in the rat hippocampus: an in vivo microdialysis study. *Brain Res*, 1992, 594: 138-42.
- 咱暂 HarrisJT,RoacheJD,ThorntonJE. A role for valproate in the treatment of sedative-hypnotic withdrawal and for relapse prevention. *Alcohol Alcoholism*, 2000, 35(4): 319-23.
- 咱暂 ChadwickD. Does withdrawal of different antiepileptic drugs have different effects on seizure recurrence? Further results from the MRC antiepileptic drug withdrawal study. *Brain*, 1999, 122: 441-8.
- 咱暂 BordenLA,SmithKE,HartigPR, et al. Molecular heterogeneity of the gamma-aminobutyric acid (GABA) transporter system. *Biol Chem*, 1992, 267(290): 21098-104.
- 咱暂 MinelliA, Debiasi S, Brecha NC, et al. GAT-3, a high-affinity GABA plasma membrane transporter, is localized to astrocytic processes, and it is not confined to the vicinity of GABAergic synapses in the cerebral cortex. *Neurosci*, 1996, 16(190): 6255-64.
- 咱暂 LebonV,PetersenKF,ClineGW, et al. Astroglial contribution to brain energy metabolism in humans revealed by ¹³C nuclear magnetic neurotransmitter glutamate repletion and measurement of astrocyte oxidative metabolism. *Neurosci*, 2002, 22(5): 1523-31.
- 咱暂 Cotrina ML, LinJHC,Lopez-GarciaJC, et al. ATP-mediated glial signaling. *Neurosci*, 2000, 20(8): 2835-44.
- 咱暂 WangJF, BowNC, Young LT. Differential display PCR reveals novel targets for the mood-stabilizing drug valproate including the molecular chaperone GRP78. *Md Pharmacol*, 1999, 55(4): 521-7.
- 咱暂 KinneyGA,SpainWJ. Synaptically evoked GABA transporter currents in neocortical glia. *Neurophysiol*, 2002, 88(34): 2899-908.
- 咱暂 DurkinMM,SmithKE,BordenLA, et al. Localization of messenger RNA encoding three GABA transporters in rat brain: an in situ hybridization study. *Mol Brain Res*, 1995, 33: 7-21.
- 咱暂 PatryloPR,SpencerDD,WilliamsonA. GABA uptake and heterotransport are impaired in the dentate gyrus of epileptic rats and human with temporal lobe sclerosis. *Neurophysiol*, 2001, 85(4): 1533-42.
- 咱暂 AraqueAC,ParpuraV,SanzgiriRP, et al. Glutamate-dependent astrocyte modulation of synaptic transmission between cultured hippocampal neurons. *Eur J Neurosci*, 1998, 10(34): 2129-42.